

II-42 三軸圧縮試験の先行圧密について

九州大学工学部 正員 工博 水野 高明
 " " 德光 善治
 " " ○川上 浩

粘性土の圧密急速試験緩速試験で、剪断に先だって行う圧密では周隙水圧の減少或は容積変化の測定によって圧密の程度を知る事が出来る。これらはどの様に変化するものかの実験的に考察した。我々の三軸試験柱では供試体上部の porous stone より圧密中の排水を行ひ、下部の porous stone より no-flow type で平均周隙水圧とも云うべきものと測定している。ここに述べる実験結果はすべて paper drain によって排水を行つたものである。

一般に周隙水圧及容積変化は時間と共に図-1 の様の如く変化す 3.4° 。その変化の状態は非常に類似しておき、圧密過程の残留周隙水圧はさほどあくられなく示されてゐるに考へてよろう。従つて残留周隙水圧によると同様に容積変化によつても大略の圧密の程度を知る事は出来よう。しかし周隙水圧、容積変化共に供試体が完全に均等でないため、その変化速度は個々の供試体によつてまち一で、圧密の程度を時間によつて規定する事は難いといふ。即ち單に同圧力で同時に圧密しても必ずしも同じ圧密度に達する考え方事は出来ない。

圧密中の周隙比 e と有効圧力 σ_3 との関係と図示すると、四-2 の如くで圧密圧力が等方圧と不等方圧の場合にはその傾きは相違つてゐる事を¹一定の関係は見出せない。測定点のばらつきも大きい。しかし三軸試験の圧密過程で圧密度を規定する上には、圧密理論の圧密度と定められた定と同様、周隙比の減少と有効圧力の増加が一次的の関係にあると考える事も便法であらう。

普通の圧密試験においては荷重と周隙比の関係は $e-\log \sigma_3$ 曲線で示されることはよく知られるのであるが、図-2 の Data を $e-\log \sigma_3$ の関係で示すと図-3 の如くなり、圧密曲線上非常に似た曲線となつてゐる。この事は等方圧と不等方

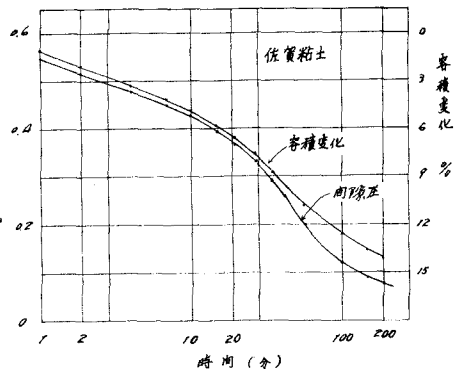


図-1

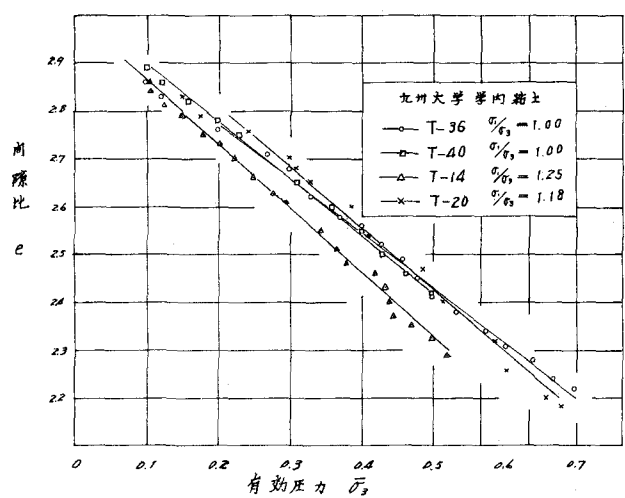


図-2

圧の差が無いにしても、平均的間隙水圧と平均的間隙比が求められるとならば当然の事である。三軸圧縮の圧密過程における圧密試験を行なう可能性を考えられる。

等方圧と不等方圧の圧密中の相違は判然としないが、得られた強度にははつきりして相違が生ずる。図-4は、 $\gamma_{\text{G}} = 1.00$ と $\gamma_{\text{G}} = 1.18$ で圧密した場合に得られた Mohr 円上にて示す。等方圧では、 $\phi_{cu} = 14^\circ$ 、不等方圧では $\phi_{cu} = 21^\circ$ とアサツ角に大差が生じてなる。かように圧密急速試験の結果は異る。剪断中の間隙水圧と荷重にて有効応力での破壊線を求めると図-5が得られる。図中の曲線が横軸より出発して 113 もの等方圧により圧密したもので、横軸より少し上部より出発して 113 もの不等方圧により圧密したものである。これらは圧密方法の相違に拘らず一つの破壊線を成しており、骨格の抵抗は等しくなる。図-3。

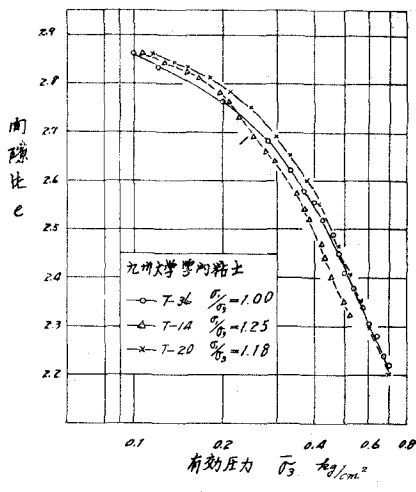


図-3

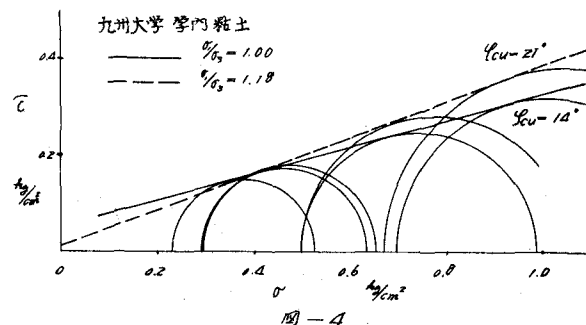


図-4

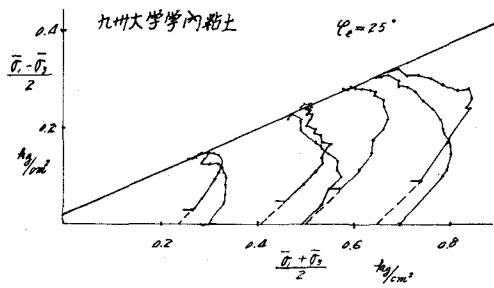


図-5